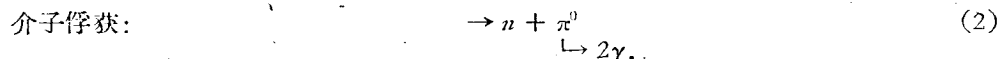
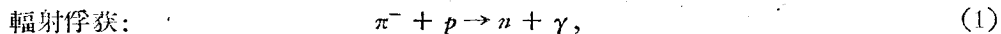


## 關於氫中含氘量对負 $\pi$ 介子吸收實驗影響的討論\*

唐 孝 威

### 一、負 $\pi$ 介子吸收實驗所提起的問題

負 $\pi$ 介子被氫吸收，是 $\pi$ 介子物理中的一个基本反应。这个反应有二个分枝，即辐射俘获及介子俘获。



其中 $p$ 和 $n$ 是質子和中子。 $\pi^0$ 介子的壽命極短，在小於 $10^{-15}$ 秒之內，衰變為一對 $\gamma$ 線。所以實驗上觀察到屬於二個分枝的二羣 $\gamma$ 光子。反應分枝的几率比 $P$ （又稱為潘諾夫斯基比值）在介子物理学中很重要，在唯象介子理論中，就是靠 $P$ 來把低能（ $S$ 波） $\pi$ 介子核子散射和光生 $\pi$ 介子反應連系起來<sup>[1]</sup>。因此，多年來進行過許多實驗，測量反應中二羣 $\gamma$ 的產額比，來求出 $P$ 。下面把一些數據，列在表1中<sup>[2]</sup>。

表 1

實驗 $P$ 值	實驗作者
$0.94 \pm 0.30$	W. K. H. Panofsky 等 (1951) <sup>[3]</sup>
$1.50 \pm 0.15$	J. M. Cassels 等 (1957) <sup>[4]</sup>
$1.87 \pm 0.10$	J. Fisher 等 (1958) <sup>[5]</sup>

可以看出，實驗值之間的差別，遠遠超過實驗誤差的範圍。此外，從 $\pi$ 介子核子作用的唯象理論，推得 $P$ 的理論值為 $P_0 = 2.43^{[5]}$ 。它比所有實驗值大得多。這些問題是 $\pi$ 介子物理中的一些困難，它曾經引起很多探討<sup>[1,6,7]</sup>，例如蘇聯 A. M. Балдин 曾提出過 $\pi^0$ 介子的假說來解決這個困難<sup>[7]</sup>。但以後實驗證明， $\pi^0$ 介子并不存在<sup>[8,9]</sup>。

作為一種可能的解說是：氫中含的氘，影響了 $\pi$ 介子吸收的機構。天然氫中永遠混雜着氘。它的含量雖然少，但它可能優先吸收負 $\pi$ 介子。如果認為，不同的實驗作者所用氫靶的純度不同，而且氘的影響很大，那麼實驗值之間的差別是可以理解的。至于唯象理論推算，只是考慮了負 $\pi$ 介子被純粹的孤立質子吸收的情形，沒有考慮氘的作用。所以理論 $P_0$ 值和實驗值不符合的問題，或許也可用同一原因來解說。

這個解說是否正確，要求用定量計算的結果來判斷。本文的目的就是進行這個計算。

\* 1960年10月10日收到。

- 1) 聯合原子核研究所也正在進行這個實驗。實驗最後結果尚未發表。初步測量結果曾在第九屆國際高能會議上報告過<sup>[2]</sup>， $P = 1.2 \pm 0.3$ 。
- 2) 按照 Валдин 的假說<sup>[7]</sup>，新的 $\pi^0$ 介子是中性的標誌介子，同位旋為零，質量可能略小於 $\pi$ 介子。而現在已知的 $\pi$ 介子則寫作 $\pi_1$ ，它的同位旋為1，因而有 $\pi_1^+$ 、 $\pi_1^0$ 、 $\pi_1^-$ 三種狀態。如果存在着 $\pi^0$ 介子，則唯象理論關於 $\pi^-$ 介子核子作用就需要重新進行分析。在計算中引入新的相角移（ $\pi^0$ 的）而可推出新的理論值 $P_0$ 。目前的實驗表明了這種假說的 $\pi^0$ 并不存在。

## 二、天然氢中负 $\pi$ 介子的命运

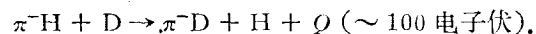
我們首先考察负 $\pi$ 介子在被吸收之前的經歷。加速器上产生的负 $\pi$ 介子，經過磁场作动量选择，再經過慢化片慢化后，打到液氫靶中而停下。它很快被质子俘获到原子轨道上，形成中间状态，即介子氢原子<sup>[9,10]</sup>。在介子氢原子中，负 $\pi$ 介子相当于普通氢原子中的轨道电子。介子氢原子是一个小的中性体系，它可在氢分子間自由运动，并且碰撞。

液氫中少量氘也可以俘获负 $\pi$ 介子，形成介子氘原子。俘获的多少决定于氘的浓度。如果靶中氢原子相对数是1，而氘原子相对数是 $\rho$ ，那么初期形成的介子氢原子和介子氘原子的比值，就是 $1:\rho$ 。

介子氢原子最初是在激发状态，接着发生的有下面几种互相竞争的过程：

1) 介子原子从激发态跃迁到基态； $\pi^-$ 介子落到原子的K轨道上。以后， $\pi^-$ 介子被质子所吸收。

2) 介子氢原子和氢中的氘碰撞而“交换介子”。因为 $\pi^-D$ 原子的结合能大于 $\pi^-H$ 原子（由于两种情况下介子折合质量不同）， $\pi^-$ 介子可以“轉交”给氘：



由于能量关系，这个过程是不可逆的。在此之后， $\pi^-D$ 体系以氘核吸收介子而告终。

3)  $\pi^-$ 介子衰变为 $\mu$ 介子。但已知这过程的几率比上两种要小几个数量级<sup>[11]</sup>，所以下面討論中就不再去考慮它。

氢和氘吸收负 $\pi$ 介子的反应，归纳在表2中。

表 2

吸 收 反 应		反 应 所 生 $\gamma$ 线 的 特 性
$\pi^- + p \rightarrow n + \gamma$	(1)	能量是129兆电子伏的单能 $\gamma$ 。
$\pi^- + p \rightarrow n + \pi^0$	(2)	平台形的 $\gamma$ 能譜，在55兆电子伏到83兆电子伏間。
$\pi^- + d \rightarrow n + n$	(3)	不产生 $\gamma$ 线。
$\pi^- + d \rightarrow 2n + \gamma$	(4)	能量110到130兆电子伏間的窄 $\gamma$ 峯

氘吸收负 $\pi$ 介子的实验曾经詳細做过<sup>[12,13]</sup>，反应产物也是中子和 $\gamma$ 光子（反应 $\pi^- + d \rightarrow 2n + \pi^0$ 是不发生的）。反应(4)产生的 $\gamma$ 线，能量和反应(1)产生的 $\gamma$ 线很相近；目前高能 $\gamma$ 譜仪很难把它們分辨开来。此外，已知反应(3)和(4)的分枝比是<sup>[13]</sup>：

$$w_{(3)}/w_{(4)} = 2.37 \pm 0.75$$

## 三、介子交换过程的后果

本节中針對氢中混有少量氘的情况，討論一羣脉冲式负 $\pi$ 介子进入氢靶后介子交换過程的結果。令这羣介子在時間 $t=0$ 时进入。在氢靶中停下的 $\pi^-$ 介子数是 $n$ ，容易計算在時間 $t$ 时，介子氢原子的数目 $n_1$ 和介子氘原子的数目 $n_2$ 。

介子刚停下就被氢俘获，形成的介子氢原子数 $n_{10} = n \frac{1}{1+\rho}$ 。被氘俘获形成的介子氘原子数 $n_{20} = n \frac{\rho}{1+\rho}$ 。 $n_{10}$ 中之一部分，由于 $\pi^-$ 被氘核吸收而消失（几率是 $\lambda_1$ ），另一

部分由于  $\pi^-$  转交给氘而失去(几率是  $\lambda_0$ )，但在  $n_{20}$  中，则除了  $\pi^-$  被氘核吸收而消失(几率是  $\lambda_2$ )外，还由介子氘原子转交介子，形成新的介子氘原子。 $\lambda_1$  和  $\lambda_2$  决定于  $\pi^-$  介子和核子作用的强度，而  $\lambda_0$  则决定于氘的浓度。 $\lambda_0 = N\rho v\sigma$ ， $N$  是单位体积中氘核数目， $\rho$  是液量中氘浓度。介子原子速度为  $v$  时，交换过程的截面是  $\sigma$ ；所以乘积  $N\rho v\sigma$  标志介子氘原子和氘碰撞发生介子交换的速率。我们可得到时间  $t$  时剩余的介子氘原子数：

$$n_1(t) = n_{10} e^{-\lambda t}. \quad (5)$$

其中  $\lambda \equiv \lambda_0 + \lambda_1$ ，而  $n_2$  则应适合于下面的微分方程：

$$\frac{dn_2(t)}{dt} = \lambda_0 n_{10} e^{-\lambda t} - \lambda_2 n_2(t).$$

得到

$$n_2(t) = \frac{\lambda_0 n_{10}}{\lambda_2 - \lambda} e^{-\lambda t} + \left( n_{20} - \frac{\lambda_0 n_{10}}{\lambda_2 - \lambda} \right) e^{-\lambda_2 t}. \quad (6)$$

假若介子氘原子是稳定的体系，即  $\lambda_2 \rightarrow 0$ ，则  $n_2 - n_{20} = A(1 - e^{-\lambda t})$ ， $A$  是常数。就是说， $n_2$  数目将会不断积累。实际上它是不稳定的体系，平均寿命  $\approx \frac{1}{\lambda_2}$ ，所以  $n_2$  数先增加后减少，在  $t = t_M$  时最多。

$$t_M = \frac{1}{\lambda_2 - \lambda} \ln \left( \frac{g + 1}{g} \cdot \frac{\lambda_2}{\lambda} \right). \quad (7)$$

其中

$$g \equiv \frac{\lambda_0 n_{10}}{n_{20}} \cdot \frac{1}{\lambda_2 - \lambda}.$$

总起来说，停下的  $n$  个  $\pi^-$  介子，全都被吸收。而在介子氘状态下吸收和在介子氘状态下吸收的数目，分别是：

$$\left. \begin{aligned} N_{\pi^- p} &= \int_0^\infty \lambda_1 n_1 dt = n_{10} \frac{\lambda_1}{\lambda}, \\ N_{\pi^- d} &= \int_0^\infty \lambda_2 n_2 dt = n_{20} + n_{10} \frac{\lambda_0}{\lambda}. \end{aligned} \right\} \quad (8)$$

#### 四、 $P$ 值和氘含量关系的计算

在通常负  $\pi^-$  介子吸收实验中，都测量总的  $\gamma$  能谱，再把低能和高能二羣  $\gamma$  线分开，取二羣比值的一半，而得到  $P^{[3,4,5]}$ 。因为按照  $P_0$  的定义， $P_0 = \omega_{(2)}/\omega_{(1)}$ (即表 2 中反应(2)和反应(1)的分枝比)。能量为 130 兆电子伏左右的高能  $\gamma$  羣的权重应为  $\frac{1}{1 + 2P_0}$ ，能量平均在 70 兆电子伏左右的低能  $\gamma$  羣的权重应为  $\frac{2P_0}{1 + 2P_0}$ 。这里  $P_0$  指的是纯氘时应有的  $P$  值，也应相当于唯象理论算得的值<sup>[5]</sup>。

前面已经提到，氘吸收负  $\pi^-$  介子后，产生的  $\gamma$  线特性，和反应(1)的  $\gamma$  线相近，它们将混在高能  $\gamma$  羣中。这样，测到的  $P$  值，与纯氘时的  $P_0$  值自然就不同。下面表 3 中，计算了每一个停下的  $\pi^-$  介子可以有的不同分枝的几率。这里用的  $k \equiv \frac{\omega_{(4)}}{\omega_{(4)} + \omega_{(3)}} \approx 0.3$ 。

表 3

起始时分子 原子的数目	交换介子后介 子原子的数目	$\gamma$ 线的能量和产额	每道中子的数目
$^{112}_{\Lambda_2} \frac{1}{1+\rho}$	$\frac{1}{1+\rho} \cdot \frac{\lambda_1}{\lambda}$	$\sim 130$ 兆电子伏: $\frac{1}{1+2P_0}$ $\sim 70$ 兆电子伏: $\frac{2P_0}{1+2P_0}$	$\frac{1}{1+\rho} \cdot \frac{\lambda_1}{\lambda} \cdot \frac{1}{1+2P_0}$ $\frac{1}{1+\rho} \cdot \frac{\lambda_1}{\lambda} \cdot \frac{2P_0}{1+2P_0}$
$^{1D_2} \frac{\rho}{1+\rho}$	$\frac{\rho}{1+\rho} + \frac{1}{1+\rho} \frac{\lambda_0}{\lambda}$	$\sim 130$ 兆电子伏: $k$ $\sim 70$ 兆电子伏: $0$	$k \left[ \frac{\rho}{1+\rho} + \frac{1}{1+\rho} \frac{\lambda_0}{\lambda} \right]$

这时再取二羣 $\gamma$ 线的比值之半, 求得 $P$ 等于

$$P = \frac{P_0}{1+\eta},$$

其中

$$\eta \equiv k(1+2P_0) \left( \rho \frac{\lambda}{\lambda_1} + \frac{\lambda_0}{\lambda_1} \right) \geqslant 0,$$

所以  $P \leq P_0$ , 即实际量到的 $P$ 值, 由于氩不是百分之百純粹的缘故, 总比理論上推出的 $P_0$ 要小. 而

$$\frac{\lambda_1}{\lambda_0} = \frac{1}{N\rho\nu\sigma} \tau_1 = \frac{1}{a\rho}; \quad a \equiv N\nu\sigma\tau_1. \quad (9)$$

其中 $\tau_1$ 是介子氩原子中 $\pi^-$ 被质子吸收的平均寿命. 最后得到:

$$P = \frac{P_0}{1+k(1+2P_0)\rho(1+a+a\rho)}. \quad (10)$$

这给出了氩純度对 $P$ 值影响的定量关系.

上面討論的純度效应, 的确是使 $P$ 实验值减少, 但是在代入具体数值計算以后, 看出这个效应在数量級上的实际影响很小. 粗略的数字估計如下:  $\tau_1 \approx 10^{-13}$  秒,  $\nu\sigma \approx 10^{-12}$  立方厘米/秒<sup>[12]</sup>,  $N \approx 4 \times 10^{22}$ /立方厘米, 于是  $P \approx \frac{P_0}{1+3 \times 10^{-1}}$ , 所以不能够用它来解說负 $\pi$ 介子吸收实验和理論間的矛盾. 如果用 J. M. Cassels<sup>[4]</sup>的結果,  $\frac{P_0 - P}{P_0} \approx 38\%$ ; 再利用式(10), 所相应的  $\rho \approx 30\%$ , 这显然是不可能的. 同样理由, 不同作者所用氩靶純度的差別, 也不致这么大. 这个估計表明, 第一节中提出的解說并不适合.

## 五、小結

本文算得了 $P$ 和 $\rho$ 的定量关系, 并得出了天然氩中氖影响不大, 不足以解說各个实验值相差很大及实验和理論值不符的问题. 因此对于这问题, 还需要寻找其他的原因, 例如对各次实验的可靠程度以及唯象理論中 $P_0$ 值推算的可靠程度, 还需要分析.

用实验来証明式(10)表明的效应, 却是有意思的: 可以在液氩靶中混入不同浓度的氖, 再测量 $P$ 值.

最后要指出,如果討論的不是負 $\pi$ 介子,而是另一种不活泼的負介子(例如負 $\mu$ 介子)被氫吸收,那么 $\tau_1$ 长而交換介子多,氫內少量杂质将会有很大的影响。在氫吸收 $\mu^-$ 介子的实验中,就应当考虑本文讨论的效应;此外还应当把 $\mu^-$ 介子衰变的因素也计算进去,从而决定实验的方案。

本工作是在联合原子核研究所时完成的。作者感谢苏略也夫(P. M. Суляев)同志的关心。

### 参 考 文 献

- [1] J. M. Cassels, Proceeding of 7th Annual Rochester Conference (1957).
- [2] A. Дунайцев, В. Пангуев, Ю. Прокопкин, Тан Сяо-вэй (唐孝威), В. Хачатуран: 参见九届国际高能物理会议报告集(1959, 基辅)。
- [3] W. K. H. Panofsky, R. L. Amodt, J. Hadley, *Phys. Rev.* **81**, (1951), 565.
- [4] J. M. Cassels, G. Fidecaro, A. M. Wetherell, J. R. Wormald *Proc. of Phys. Soc.* **A70**, (1957), 405.
- [5] J. Fisher, R. March, L. Marshall, *Phys. Rev.* **109**, (1958), 533.
- [6] Y. Yamaguchi, *Prog. theor. Phys.* Vol. 19, (1958), 622.
- [7] A. Baldin, *Nuovo Cimento* II, Vol. IX, (1958), 547.  
A. Baldin, *Nuovo Cimento* II, Vol. VIII, (1958), 569.
- [8] Proceedings of 1959 Annual International Conference on High Energy Physics at Kiev.
- [9] E. Fermi and Teller, *Phys. Rev.* **72**, (1947), 399.
- [10] A. S. Wightman, *Phys. Rev.* **77**, (1950), 521.
- [11] J. A. Kuchner, A. W. Morrison, S. Tornabene, *Proc. of Phys. Soc.* **A73**, (1959), 551.
- [12] T. H. P. Skyrme, *Phil. Mag.* **2**, **19**, (1957), 910.